BAYOMA による水平 2 方向載荷を受ける RC 柱の固有振動モードの同定

早稲田大学 学生会員 〇小嶋 啓介, 佐藤 裕紀 早稲田大学 正会員 秋山 充良 University of Liverpool Yan-long Xie, Siu-Kui Au

1. はじめに

大地震発生後における構造物の早期復旧のための迅速な健全度評価は重要な課題である。現行の目視点検に代わる手法として、構造物の損傷による剛性低下を応答測定によってとらえる手法の開発が進められてきたり、中でも風や人々の活動による常時微動(ambient vibration)を用いる手法は加振を必要とせず、簡易に測定できるため、これによる固有モードの同定が実現されれば、最も合理的な手法になり得る。一方、常時微動は振幅が極めて小さく、測定時のノイズの影響を受けやすいため、固有モードの同定を行う際には洗練された逆解析手法も必要となる。

本研究では、常時微動測定と Au によって提案された BAYOMA²⁾を用いることにより、正負交番載荷を受ける RC 柱で生じる固有振動数の低下と柱の損傷度の関係に関する基礎データを得る。本研究では、特に、水平 1 方向載荷と 2 方向載荷を受ける場合に、固有振動数の低下の様子にどのような違いが表れるのかを考察する。

2. Bayesian Operational Modal Analysis (BAYOMA) 2)

ベイズ推定の考え方に基づくと、事後の確率密度関数は式(1)で表される. ここで、 θ は観測データ D から得られるモードパラメータベクトル、モデル M は測定データ D と θ を関連付けるものとする.

Au は FFT に基づく, ベイズ推定によるモード同定手法を 高速化したアルゴリズム (BAYOMA) を 提案 した. 測定データ $D=\{F_k\}$ は FFT を用いた式(2)で表される. ここで, $i^2=-1$, Δt はサンプリング間隔である. $k=1,...,N_q$ = (N/2+1) (N_q :整数) に対して, N_q はナイキスト振動数に対

$$p(\mathbf{\theta} \mid D, M) = p(D \mid M)^{-1} p(D \mid \mathbf{\theta}, M) p(\mathbf{\theta} \mid M)$$
(1)

$$F_k = \sqrt{\frac{\Delta t}{N}} \sum_{j=0}^{N-1} \hat{x} \exp[-2\pi i j k / N]$$
 (2)

$$p(\mathbf{\theta} \mid D, M) \propto \exp[-L(\mathbf{\theta})]$$
 (3)

$$L(\mathbf{\theta}) = nN_f \ln \pi + \sum_k \ln \left| \mathbf{E}_k(\mathbf{\theta}) \right| + \sum_k F_k^* \mathbf{E}_k(\mathbf{\theta})^{-1} F_k \qquad (4)$$

$$\mathbf{E}_{\iota}(\mathbf{\theta}) = \mathbf{E}[F_{\iota}F_{\iota}^{*}] = \mathbf{\phi}\mathbf{H}_{\iota}(\mathbf{\theta})\mathbf{\phi}^{T} + S_{\iota}\mathbf{I}_{n} \in C^{n\times n}$$
(5)

応する.本手法では検討対象とする共振振動数付近のフーリエデータのみを用いる.式(3)のモードパラメータベクトル θ には固有振動数 f_i ,減衰比 ζ_i ,各モードのパワースペクトル行列 S,予測誤差のパワースペクトル密度 S_e に加え、モード形状 ϕ_i も含まれる. θ は検討対象とする振動数帯にある振動モードのパラメータを表す.十分なサンプリング周波数と測定データに対して、同定したパラメータ θ と事後の確率密度関数には式(3)~(5)の関係がある.式(5)において I_n は単位行列、 $H_k(\theta)$ はモード応答により理論的に誘導されるパワースペクトル行列である.共振振動数付近のフーリエデータを用いて、 $L(\theta)$ を最小化するようなパラメータを同定結果として推定する.

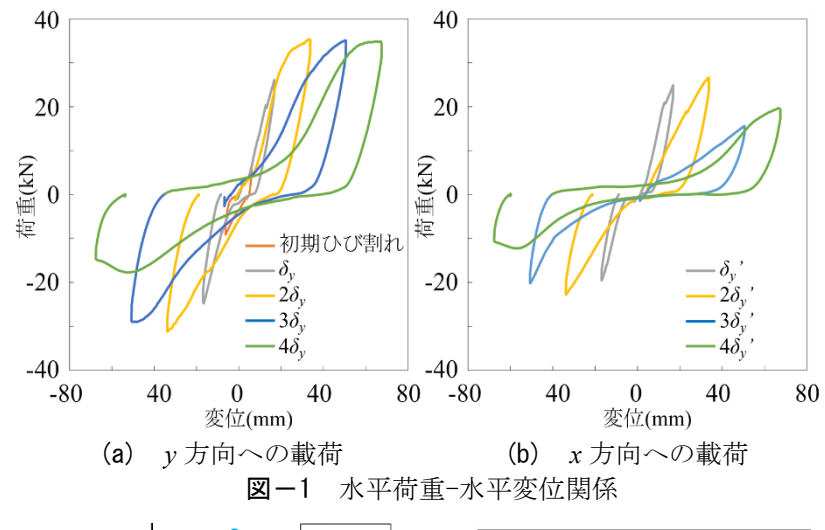
3. 実験および解析結果

本研究では、水平 2 方向載荷により RC 柱に段階的に損傷を与え、常時微動測定から同定した固有モードと固有振動数の変化を観察する. その際、全く同じ諸元を有する供試体を二つ用意し、一方は水平 1 方向の正負交番載荷を行う. 両者の結果を比較することで、水平 2 方向載荷が RC 柱の固有振動数の低下に及ぼす影響を考察する.

よる振動モードの同定を行った. 図-2 に 常時微動測定を行う際の加速度センサの 取り付け位置を示す. 常時微動の定常性を 仮定し, 図中に星印で示した固定点と丸印で示した移動点 31 ヵ所の合計 32 計測点に おいて, サンプリング周期 1000(Hz) で 10 分間の常時微動測定を行った. 固定点には 1 軸加速度センサを 3 つ, 移動点には 3 軸加速度センサを用いた.

常時微動測定結果に基づく各損傷段階の代表的なパワースペクトルをそれぞれ図-3に示す. パワースペクトルは式(5)の中央の辺である PSD 行列により得られる. スペクトル図からはノイズの影響を含む複数の共振部が確認できる. このように,スペクトル図のみでは固有モードの同定は困難である.

そこで、スペクトルの共振部を固有モード同定の初期値として BAYOMA を適用し、各モード形状を同定する. 鉄筋降伏時のモード図を \mathbf{Z} に示す. また、同定された固有振動数と減衰比を損傷段階ごとに \mathbf{Z} \mathbf{Z}



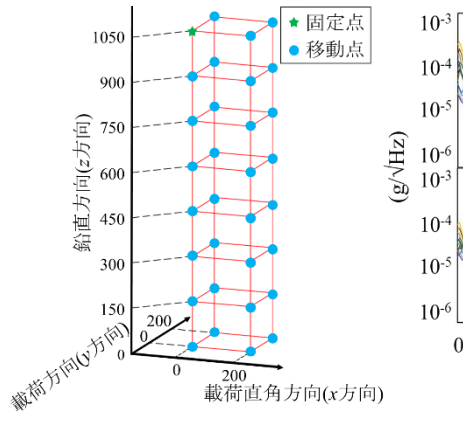


図-2 センサ取り付け位置

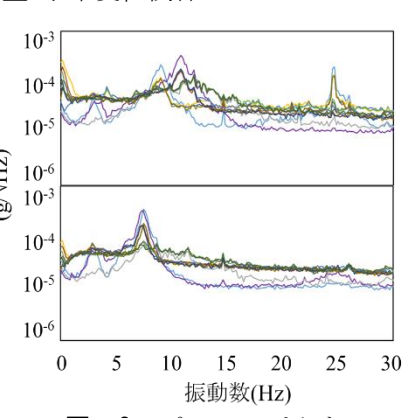


図-3 パワースペクトル (上から無損傷, δ_v 時)

教帝直角方向 藏部方向

(b) *y* 方向

同定された一次モード

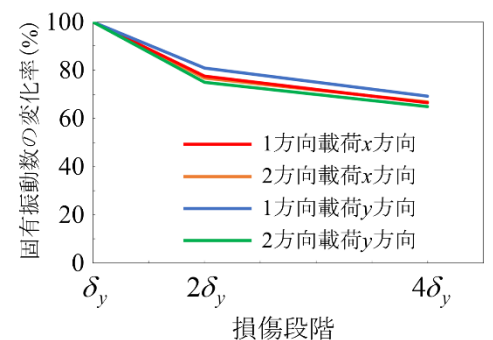
まで表-1 に示す. 鉄筋降伏以降の1方向載荷と2方向載荷の損傷段階ごとの固有振動数の変化率を図-5 に示す. 2方向載荷による固有振動数の変化は,1方向載荷と同様であることが確認できる.

4. まとめ

ベイズ推定に基づくモード同定手法を用いると、軽微な損傷であっても、固有振動数の低下を捉えられる可能性が示された.また、2方向載荷を受ける場

合でも、損傷に伴う固有振動数の低下は1方向載荷と同程度であった.

今後、構造諸元を変更したRC柱や震動実験等を行い、地震により損傷を受けるRC柱に生じる固有振動数の低下に関する知見を蓄積したい。



撒精坊怕

x 方向

図-5 固有振動数の変化率 (鉄筋降伏時を100%とする)

表-1 同定された固有振動数と減衰比

損傷段階		無損傷	δ_y	δ_y '	$2\delta_y$	2δ _y '
載荷方向	振動数(Hz)	10.89	8.41	7.48	6.07	5.61
	減衰比(%)	3.31	4.54	2.50	1.55	1.82
載荷直角方向	振動数(Hz)	9.04	7.84	7.71	6.51	5.92
	減衰比(%)	3.52	2.59	2.10	3.18	2.27

参考文献

- 1) 篠田昌弘, 真井哲生, 江原季映, 中島進, 阿部慶太, 藤田圭一, 土屋宗典:小型起振器と光ファイバセンサを用いた鉄道橋梁下部構造物の振動計測, 土木学会論文集 A1(構造・地震工学), Vol.69, No.1, 40-56, 2013
- 2) Siu-Kui Au: Operational Modal Analysis Modeling, Bayesian Inference, Uncertainty Laws, Springer, 2017